



## Thalamus and Bilingualism: Evidence from fMRI

**Simin Meykadeh<sup>1</sup>**

*PhD in Linguistics, Tarbiat Modares University, Tehran, Iran (Corresponding author)*

**Werner Sommer<sup>2</sup>**

*Professor in Psychology, Humboldt-Universität zu Berlin, Berlin, Germany*

**Seyed Amir Hossein Batouli<sup>3</sup>**

*Assistant Professor, Department of Neuroscience and Addiction Studies,  
Tehran University of Medical Sciences, Tehran, Iran*

**Received: July 13, 2023**

**Accepted: Nov 3, 2023**

### Abstract

Bilingualism is associated with structural adaptations of subcortical regions taking part in controlling multiple languages. The thalamus is a paired gray matter structure located near the center of the brain, regulating the information transmission to cortical regions. In a recent fMRI study, the sensitivity of the thalamus to grammatical and ungrammatical stimuli has been shown at whole-brain level in the first language (L1) of bilinguals. This study explored the activation patterns of bilateral thalamus in both L1 and L2 using a ROI-based approach. To do so, the percentage of signal change for grammatical and ungrammatical stimuli in L1 and L2 was extracted as the intensity measure per participant. Thirty-six Turkish-Persian bilinguals (21 women) who had acquired their L2 at the age of 7 were selected. Based on the Bilingual Dominance Scale, there was no significant difference between the proficiency level of participants in L1 (Turkish) and L2 (Persian). Participants carried out an auditory grammaticality judgment task in an alternating language switching paradigm while fMRI images were acquired. ROI-based results confirmed the grammaticality effect only in L1 and the left thalamus. Considering that L1 was the dominant language in this study and

- 
1. Email: a.meykadeh@modares.ac.ir
  2. Email: werner.sommer@cms.hu-berlin.de
  3. Email: batouli@sina.tums.ac.ir

gave rise to larger reversed language dominance effects, it was suggested that the engagement of the thalamus in L1 is not associated with syntactic processing but instead may exert an overall *monitoring* and control function for language-specific cortical activities.

**Keywords:** Thalamus, Bilingualism, L1, Switching Costs, Left Hemisphere, fMRI



## تalamos و دوزبانگی: شواهدی از fMRI

سیمین میکده، دکتری زبانشناسی، گروه زبانشناسی، دانشکده علوم انسانی، دانشگاه تربیت مدرس، تهران، ایران  
(نویسنده مسئول)<sup>۱</sup>

ورنر زومر، استاد، گروه روانشناسی، دانشگاه هومبولت برلین، برلین، آلمان<sup>۲</sup>

سیدامیرحسین بتولی، استادیار، گروه علوم اعصاب، دانشکده فناوری‌های نوین، دانشگاه علوم پزشکی تهران، تهران، ایران<sup>۳</sup>

۵۱-۲۹

### چکیده

دوزبانگی با انطباق‌های ساختاری نواحی زیرقشری دخیل در کنترل چندین زبان مرتبط است (کرنار، ترفز-دالر و پلیاستیکاس، ۲۰۲۳). تalamos یک ساختار زوجی ماده خاکستری است که در نزدیکی مرکز مغز قرار دارد و انتقال اطلاعات به نواحی قشری را تنظیم می‌کند. اخیراً در یک مطالعه fMRI، حساسیت تalamos به محرك‌های دستوری و نادستوری زبان اول در سطح کل-مغز در افراد دوزبانه شناسایی شد (میکده و همکاران، ۲۰۲۱ الف). مطالعه حاضر در صدد است با اتخاذ رویکرد ناحیه موردنظر، الگوهای فعالیت تalamos دوچانبه را برای هر دوزبان اول و دوم بررسی کند. بدین منظور، درصد تغییر سیگنال محرك‌های دستوری و نادستوری در زبان اول و دوم به عنوان معیار «شدت» برای هر شرکت‌کننده استخراج شد. تعداد ۳۶ نفر دوزبانه ترکی-فارسی (۲۱ زن) که زبان دومشان را به طور رسمی در ۷ سالگی آموخته بودند، انتخاب شدند. بر مبنای شاخص تسلط دوزبانه، هیچ تفاوت معناداری بین سطوح بالای بستندگی شرکت‌کنندگان در زبان اول (ترکی) و دوم (فارسی) وجود نداشت. شرکت‌کنندگان یک آزمون شنیداری قضافوت دستوری بودگی با پارادایم زبان‌گردانی جایگزین را در حین اخذ تصاویر fMRI اجرا کردند. نتایج مبتنی بر ناحیه موردنظر، اثر دستوری بودگی را در زبان اول و تalamos چپ تأیید کرد. با توجه به اینکه در پژوهش حاضر زبان اول به عنوان زبان غالب عمل کرد و اثرات معکوس بزرگتری را ایجاد نمود، به نظر می‌رسد دخالت تalamos در زبان اول به پردازش نحوی مربوط نمی‌شود، بلکه ممکن است تalamos نقش کنترلی و نظارتی را برای فعالیت‌های زبان-ویژه قشر مغز ایفا می‌کند.

**کلیدواژه‌ها:** تalamos، دوزبانگی، زبان اول، بار زبان‌گردانی، fMRI.

تاریخ دریافت: ۱۴۰۲/۴/۲۲ - تاریخ پذیرش: ۱۴۰۲/۹/۱۲

1. a.meykadeh@modares.ac.ir

پست الکترونیکی:

2. werner.sommer@cms.hu-berlin.de

3. batouli@sina.tums.ac.ir

## ۱. مقدمه

تalamos، ساختاری متقارن است که در عمق قشر مغز و هسته دیانسفالون<sup>۱</sup> قرار دارد و به طورکلی نقش باز پخش اطلاعات بین نواحی مختلف قشری و زیرقشری مغز را به عهده دارد. تقریباً پنجاه سال پیش بود که Sanides<sup>۲</sup> (۱۹۷۰) ادعا کرد مسیر عملیاتی Talamo-cortical<sup>۳</sup>، پیش شرط ساختاری برای کارکردهای رفتاری پیچیده است. سال‌ها بعد، این دیدگاه با مشاهدات بالینی در بیمارانی با صایعات تalamic<sup>۴</sup> که منجر به اختلالات شناختی شده بودند، تأیید شد. علاوه بر این، شواهدی وجود دارد که نشان می‌دهد صایعات Talamic می‌توانند بر طیف گسترده‌ای از رفتارها از جمله رفتارهای ادراکی، توجهی، حافظه‌ای، اجرایی و بهویژه ظرفیت‌های زبانی تأثیر بگذارند (Bogousslavsky<sup>۵</sup> و همکاران، ۱۹۸۸؛ ون در ورف<sup>۶</sup> و همکاران، ۲۰۰۰؛ Fimm<sup>۷</sup> و همکاران، ۲۰۰۱؛ Lieberman<sup>۸</sup> و همکاران، ۲۰۱۳؛ Klostermann، Krugel and Ehlen<sup>۹</sup> و همکاران، ۲۰۰۴؛ Brüggen<sup>۱۰</sup> و همکاران، ۲۰۱۶؛ Fedeli<sup>۱۱</sup> و همکاران، ۲۰۲۱). مشخصاً، این تغییرات نواحی زیرقشری مانند هسته کودیت<sup>۱۲</sup>، گلوبوس پالیدوس<sup>۱۳</sup>، هسته اکومبنس<sup>۱۴</sup>، پوتامن<sup>۱۵</sup> و Talamos را متأثر می‌کند که نواحی کلیدی برای کنترل زبان در دوزبانه‌های با تجربه محسوب می‌شوند (Hosoda<sup>۱۶</sup> و همکاران، ۲۰۱۳؛ Brüggen، Krugel and Ehlen<sup>۱۷</sup>؛ Burgaleta<sup>۱۸</sup> و همکاران، ۲۰۱۳؛ Fedeli<sup>۱۹</sup>؛ Mechelli<sup>۲۰</sup> و همکاران، ۲۰۱۳؛ Hosoda<sup>۲۱</sup> و همکاران، ۲۰۱۳).

1. *Diencephalon*

2. Sanides

3. Thalamo-cortical

4. thalamic

5. Bogousslavsky

6. Van Der Werf

7. Fimm

8. Liebermann

9. Klostermann, Krugel and Ehlen

10. Language-switching

11. Mechelli

12. Burgaleta

13. Fedeli

14. caudate nucleus

15. globus pallidus

16. nucleus accumbens

17. putamen

18. Hosoda

و کلاین<sup>۱</sup>، ۲۰۱۷؛ پلیاستیکاس<sup>۲</sup> و همکاران، ۲۰۱۹؛ دلوکا<sup>۳</sup> و همکاران، ۲۰۱۹؛ گلو<sup>۴</sup> و همکاران، ۲۰۲۱). اخیراً، کرنار، ترفز-دالر و پلیاستیکاس<sup>۵</sup> (۲۰۲۳) نشان دادند که حجم نواحی تalamos و پوتامن با میزان تجربه دوزبانه‌ها رابطه مثبت دارد. به عبارتی دقیق‌تر، هر چه تجربه فرد دوزبانه بیشتر باشد، حجم نواحی تalamos و پوتامن بزرگ‌تر خواهد بود. با توجه به اهمیت نقش ناحیه تalamos در کنترل زبان در افراد دوزبانه، پژوهش حاضر با بهره‌گیری از روش تصویربرداری تشخیصی عملکردی<sup>۶</sup> (fMRI) بر روی این ناحیه زیرقشری متمرکز خواهد بود. روش تصویربرداری fMRI، غیرتهاجمی<sup>۷</sup> است و برای اندازه‌گیری و مکان‌یابی<sup>۸</sup> کارکردهای خاص مغز انسان بدون استفاده از اشعه عمل می‌کند. دقت مکانی ۳-۲ میلی‌متری fMRI (بروس و همکاران، ۲۰۱۸)، آن را به ابزاری قدرتمند برای تصویربرداری از مغز مبدل کرده است.

بر اساس دانش ما، مطالعه وارتبرگ<sup>۹</sup> و همکارانش (۲۰۰۳) تنها اثری است که تا کنون به موضوع پرداش دستوری در افراد دوزبانه پرداخته است. آن‌ها با به کارگیری سه گروه از دوزبانه‌های ایتالیایی-آلمانی با (۱) بسندگی بالا در زبان دوم و سن یادگیری خیلی زودهنگام<sup>۱۰</sup> (۲) بسندگی بالا در زبان دوم و سن یادگیری دیرهنگام<sup>۱۱</sup> و (۳) بسندگی پایین در زبان دوم و سن یادگیری دیرهنگام<sup>۱۲</sup> به بررسی تأثیر سن یادگیری و بسندگی زبانی با استفاده از یک تکلیف قضاویت دستوری بودگی دیداری<sup>۱۳</sup> که شامل دستکاری نشانگرهای صرفی بود، پرداختد. دوزبانه‌های زودهنگام از بدو تولد در معرض زبان دوم بودند؛ درحالی که میانگین سنی دوزبانه‌های دیرهنگام با بسندگی بالا و پایین به ترتیب ۱۸/۹ و ۲۰/۴ بود. در گروه دوزبانه‌های زودهنگام با بسندگی بالا در زبان دوم، هیچ تفاوتی در سطح فعالیت مغزی بین دوزبان اول و دوم مشاهده نشد. درحالی که در هر دو گروه دوزبانه‌های دیرهنگام، فعالیت گسترده‌تر ناحیه بروکا و ساختارهای زیرقشری (از جمله ناحیه تalamos) در زبان دوم مشاهده شد. این نتایج میان این است که بنیان نورونی

1. Berken, Gracco, Klein
2. Pliatsikas
3. DeLuca
4. Gallo
5. Korenar, Trefers-Daller & Pliatsikas
6. Functional Magnetic Resonance Imaging (fMRI)
7. non-invasive
8. localization
9. Wartenburger
10. early acquisition of L2 and high proficiency in L2
11. late acquisition of L2 and high proficiency in L2
12. late acquisition of L2 and low proficiency in L2
13. Vitual grammaticality judgment task

پردازش صرفی-نحوی حتی در دوزبانه‌های دیرهنگام با بستندگی زبانی بالا در زبان دوم (در حد سخنگویان بومی)، به سن یادگیری زبان دوم حساس است. فعالیت مغزی گسترده‌تر در دوزبانه‌های دیرهنگام حاکی از دشواری بیشتر پردازش زبان دوم در این افراد است که متأثر از یادگیری زبان دوم بعد از سن بلوغ<sup>۱</sup> است. نظر به اینکه تا کنون هیچ مطالعه‌ای پردازش همزمان نحوی زبان اول و دوم را در یک گروه واحد از افراد دوزبانه موربدبرسی قرار نداده است، پژوهش حاضر در صدد است الگوی فعالیت ناحیه تالاموس را در دوزبانه‌های متوازن<sup>۲</sup> بیازماید.

در بافت دوزبانگی، کنترل شناختی<sup>۳</sup> یا کارکردهای اجرایی<sup>۴</sup>، یک عامل اساسی در توانش زبان به شمار می‌رود (لرمان و ابلر<sup>۵</sup>، ۲۰۱۷). دوزبانگی، منابع حافظه فعال را برای مدیریت زبان‌هایی که به طور پیوسته برای گزینش رقابت می‌کنند، به کار می‌گیرد (آتون<sup>۶</sup> و همکاران، ۲۰۱۹). بر اساس مدل کنترل بازداری گرین<sup>۷</sup> (۱۹۹۸) یک سازوکار بازدارنده در رفع تعارض بین دوزبانی که به طور همزمان فعال‌اند دخالت دارد تا با مهار زبان غیرهدف<sup>۸</sup>، تولید زبان هدف<sup>۹</sup> را تسهیل کند. استدلال شده است که در دوزبانه‌های متأخر، زبان مادری به عنوان زبان غالب<sup>۱۰</sup> عمل می‌کند و هنگامی که دوزبانها در تلاش‌اند تا زبان اولشان را بعد از فعالیت زبان دوم مجددًا بازیابی کنند، دسترسی به بازنمایی‌های مهارشده در زبان اول زمان برخواهد بود (رومأن و گومز-گومز<sup>۱۱</sup>، ۲۰۲۲). در همین راستا، دکلرک، کلینمان و گلن<sup>۱۲</sup> (۲۰۱۶)، مطرح کردند که دوزبانه‌ها گاهی اوقات اثرات تسلط زبان معکوس را بروز می‌دهند. این پژوهشگران با بررسی بیش از ۴۰۰ فرد دوزبانه دریافتند که دوزبانه‌های متوازن‌تر (در مقایسه با دوزبانه‌های کمتر متوازن) اثرات تسلط زبان معکوس بزرگ‌تری را در بلوک‌های زبان مختلط<sup>۱۳</sup> ایجاد می‌کنند. دلیل این امر این می‌تواند باشد که وقتی دوزبانه‌های متوازن تلاش می‌کنند تا به یک اندازه به هر دو زبان دسترسی داشته باشند، ممکن است دچار خطای بیشتری شوند. در پژوهش حاضر، سخنگویان دوزبانه از تسلط بالایی در هر دو زبان ترکی (زبان اول) و

1. Puberty
2. balanced bilingual
3. Cognitive control
4. Executive functions (EFs)
5. Lerman & Obler
6. Antón
7. Green
8. Non-target language
9. Target language
10. Matrix language
11. Román and Gómez-Gómez
12. Declerck, Kleinman & Gollan
13. mixed-language blocks

فارسی (زبان دوم) برخوردار بودند و به طور منظم از هر دو زبان استفاده می‌کردند. آن‌ها غالباً در خانه با زبان ترکی مواجه شده بودند و از حدود ۷ سالگی که وارد دبستان شدند شروع به یادگیری زبان فارسی کردند. به طور خاص، مطالعه این جمعیت بدین دلیل حائز اهمیت است که اگرچه آن‌ها یادگیری زبان دوم را نسبتاً دیر شروع کردند، اما در ادامه به سطح بسیار بالایی از بستندگی رسیدند. زبان‌های ترکی و فارسی مشخصه‌های دستوری مشترکی دارند که عامل مهمی در کنترل پردازش زبان دوم محسوب می‌شود. در حالت بی‌نشان هر دو دارای ترتیب واژه زبان فاعل-مفعول- فعل<sup>۱</sup> هستند و از ویژگی‌های نحوی خاصی مانند مطابقه فعلی<sup>۲</sup> پیروی می‌کنند. بر اساس توصیف نحو مشترک<sup>۳</sup> (هارتسوکر<sup>۴</sup> و همکاران، ۲۰۰۴)، مادامی‌که بازنمایی‌های نحوی بین زبان‌ها مشابه باشند، دوزبانه‌ها بازنمایی‌ها را بین زبان‌ها به اشتراک می‌گذارند؛ بنابراین، با هدف بررسی نقش ناحیه تalamos در پردازش زبان اول و دوم با روش fMRI در افراد دوزبانه متوازن ترکی-فارسی که در سن ۷ سالگی زبان دوم را به طور رسمی آموخته بودند، پژوهشگران حاضر درصد دهستند به دو پرسش زیر پاسخ دهند:

(۱) تا چه میزانی ناحیه تalamos در پردازش جملات دوزبانه‌ها دخالت دارد؟

(۲) چه تفاوتی در کارکرد تalamos چپ و راست برای پردازش همزمان زبان اول و دوم وجود دارد؟

## ۲. روش پژوهش

### ۱-۲. شرکت‌کنندگان

بر اساس یک فراخوان، دانشجویان واجد شرایط مقطع دکتری دعوت به همکاری در پژوهش کاربردی-بنیادی حاضر شدند. از بین داوطلبان، ۳۶ دانشجوی ترک‌زبان (۲۱ زن و ۱۵ مرد به ترتیب با میانگین سنی و انحراف معیار  $27/71 \pm 3/5$  و  $26/87 \pm 2/97$  سال) در محدوده سنی ۲۲-۳۴ سال) انتخاب شدند.<sup>۵</sup> همه افراد سالم و طبق گزارش فردی شناختی طبیعی داشتند. ملاک ورود به مطالعه شامل داشتن والدین ترک‌زبان، متولد و ساکن استان‌های ترک‌زبان ایران تا سن ۷ سالگی، راست‌دستی، عدم ابتلا به بیماری‌های زبانی-روانی، حداقل ۵ سال سکونت در شهرهای فارسی‌زبان و شروع آموزش رسمی زبان فارسی در ۷ سالگی بود. بنا بر اظهارات شخصی، همه شرکت‌کنندگان در

1. Subject-object-verb (SOV)
2. Verbal agreement
3. Shared syntax account
4. Hartsuiker

<sup>۵</sup>. در مطالعات fMRI، حداقل حجم نمونه برای هر گروه ۱۵ نفر پیشنهاد شده است (فریستن، ۲۰۱۲).

زندگی روزمره با زبان ترکی ارتباط برقرار می‌کردند. پس از غربالگری اولیه، افراد ملزم به شرکت در جلسه ارزیابی رفتاری که در گروه زبان‌شناسی دانشگاه تربیت مدرس برگزار شد، بودند. بر اساس آزمون دستبرتری ادینبورگ<sup>۱</sup> همه افراد راست‌دست بودند. جهت سنجش ظرفیت حافظه فعال، تکلیف فراخنای خواندن<sup>۲</sup> (خدادادی و همکاران، ۱۳۹۳) برای همه افراد اجرا شد. کسب امتیاز ۵۰ (از ۱۰۰) الزام‌آور بود و همه افراد موفق به کسب امتیاز لازم شدند. خودارزیابی بسندهایی در زبان فارسی و ترکی با اختلاف انداز بین درک و تولید زبان (۶ در برابر ۵) عالی بود. مصاحبه‌هایی به زبان فارسی و ترکی توسط یک مصاحبه‌گر زبان‌شناس فارسی‌زبان و یک دانشجوی دکتری ترک‌زبان انجام شد. در بخشی از این مصاحبه، یک آزمون قضاوت دستوری بودگی شبیه‌سازی شده از شرکت‌کنندگان اخذ شد. با توجه به ماهیت آزمایش اصلی، این خرده آزمون (شامل ۳۰ آیتم) به صورت شنیداری به زبان ترکی و فارسی ارائه و بر این اساس توانمندی شنیداری و دستوری افراد در هر دوزبان «عالی» تشخیص داده شد. ضمناً، موقعیت اجتماعی-اقتصادی افراد بر اساس شاخص چهار-عاملی جایگاه اجتماعی-اقتصادی<sup>۳</sup> (هالینگزهد، ۱۹۷۵) بررسی و اختلافی بین شرکت‌کنندگان پژوهش حاضر و گروه کنترل (افراد تک‌زبانه فارسی‌زبان با میزان بسندهای زبانی بالا) مشاهده نشد (برای جزئیات بیشتر به میکده و همکاران ۲۰۲۱ ب و میکده و همکاران ۲۰۲۳ ب مراجعه شود). ضمناً، میزان تسلط دوزبانه‌ها به زبان اول و دوم بر اساس معیار تسلط دوزبانه<sup>۴</sup> (دان و فاکس‌تری، ۲۰۰۹) ارزیابی و اختلاف معناداری مشاهده نشد. افراد با رضایت‌کننده در این آزمایش شرکت و حق‌الزحمه حضور دریافت کردند. پژوهش حاضر مورد تصویب کمیته اخلاق دانشگاه علوم پزشکی ایران (مطابق با اعلامیه هلسینکی) و دارای کد IR.IUMS.REC.1398.465 است.

## ۲-۲. مواد آزمون

به منظور بررسی پردازش نحوی سخنگویان دوزبانه یک تکلیف قضاآوت دستوری بودگی شنیداری<sup>۵</sup> طراحی شد (میکده و همکاران، ۲۰۲۱ الف). محرک‌ها شامل ۶۴ جمله فارسی و ۶۴ جمله ترکی با ساختار فاعل + مفعول +

1. *Edinburgh handedness inventory (EHI)*
2. reading span test
3. four factor index of socio-economic status
4. Hollingshead
5. Bilingual Dominance Scale (BDS)
6. Dunn & Fox Tree
7. Auditory grammatical judgment task

فعل بود که نیمی از محرک‌ها در هر زبان به لحاظ نحوی درست و سایر محرک‌ها دارای نقض مطابقه فعل-فاعل بودند. همه محرک‌ها به لحاظ معنایی درست بودند و محرک‌های به لحاظ نحوی درست و نادرست، از یکدیگر مشتق نشدند؛ بنابراین، هر محرک چه درست و چه نادرست فقط یکبار ارائه شد. زمان گذشته ساده افعال (بدون هیچ فعل کمکی) استفاده شد. در محرک‌های درست، فاعل اول و سوم شخص مفرد با افعال اول و سوم شخص مفرد و فاعل اول و سوم شخص جمع با افعال اول و سوم شخص جمع همراه بودند. در مقابل، در شرایط نقض مشخصه‌های شخص و شمار، فاعل اول و سوم شخص مفرد با افعال اول و سوم شخص جمع و فاعل اول و سوم شخص جمع با افعال اول و سوم شخص مفرد همراه بودند<sup>۱</sup>. جملات توسط یک خانم با رitem طبیعی قرائت و در استودیوی صدابرداری با فرمت WAV ذخیره شد (نرخ نمونه برداری ۱۶ بیت، ۴۴ کیلوهرتز). روایی محتوایی تکلیف قضاوت دستوری بودگی به تأیید متخصصین حوزه نحو رسید و میزان اعتبار آن با استفاده از آزمون آلفای کرونباخ<sup>۲</sup> به دست آمد.

#### جدول ۱ - مثال‌هایی از مواد آزمون در زبان ترکی و فارسی با حرف‌نویسی و ترجمه‌ انگلیسی

(اقتباس از میکده و همکاران، ۲۰۲۱ الف)

زبان دوم	زبان اول
*Ma <sub>1,pl</sub> bedehkari-ye-mân râ pardâxtam <sub>1,sg</sub> .	نقض مطابقه دستوری *بیز ما <sub>1,sg</sub> کیتابلاریمیزی گتیردیم. *Biz kitâb-lar-i-mizi gatirdim. We book-PL-HI-OBJ-CLT.Def bring-PAST-1SG (We brought our books)
	مطابقه دستوری

۱. فهرست کامل محرک‌ها در مقاله میکده و همکاران (۲۰۲۳) الف) ارائه شده است.

2. cronbach's alpha

زبان دوم	زبان اول
من ۱.sg نظرش را پذیرفتم. Man <sub>1.sg</sub> nazar-aš râ paziroftam <sub>1.sg</sub> . I offer-OBJ-CLT.Def accept.PAST-1SG (I accepted her/his offer.)	من ۱.sg پالتارمی بودم. Man <sub>1.sg</sub> pâltâr-e-mi yudum <sub>1.sg</sub> . I cloth-HI-OBJ-CLT.Def wash.PAST-1SG (I washed my cloth.)

\* جملات غیردستوری. زیر هجای هدف خط کشیده شده است.

### ۳-۲. نحوه اجرای آزمون

پس از دریافت آموزش‌های لازم در زمینه نحوه اجرای تکلیف، شرکت‌کنندگان بر اساس دستوری/نادستوری بودگی جملات پاسخ خود را ثبت کردند. محرک‌های شنیداری طراحی شده توسط نرم‌افزار سایکوپای<sup>۱</sup>، از طریق هدفون ارائه شد. الگوی تحریک وابسته به رویداد<sup>۲</sup>، شامل<sup>۳</sup> بلوک<sup>۳</sup> جملات شنیداری،<sup>۴</sup> بازه استراحت<sup>۴</sup> بود و پارادایم زبان‌گردانی جایگزین<sup>۵</sup> نیز به کار گرفته شد. هر بلوک مشکل از ۳۲ بخش<sup>۶</sup> است که برای ثبت پاسخ همودینامیکی<sup>۷</sup> نیز بازه‌های زمانی استراحت ۳۰ ثانیه‌ای در قبل و بعد از آن تعییه شد که طی آن هیچ تحریکی ارائه نشد. مدت زمان هر بلوک ۳۱۸ ثانیه بود. هر بخش شامل یک بوق هشدار ۱ ثانیه‌ای، یک جمله ۳ ثانیه‌ای و مرحله پاسخ<sup>۴</sup>، ۵ یا ۶ ثانیه‌ای بود. به علت ماهیت شنیداری تکلیف شناختی، یک علامت بعلاوه (+) در وسط صفحه نمایش در کل زمان اجرای تکلیف<sup>۸</sup> نمایش داده شد. در هر بلوک، جملات دو زبان به‌طور پیوسته تغییر می‌کردند (به‌طور مثال، زبان اول، زبان دوم، زبان اول، زبان دوم و...). محرک‌های دستوری/نادستوری هر زبان، در هر بلوک به‌طور تصادفی توزیع و به‌طور یکسان برای همه شرکت‌کننده‌ها اجرا شد. مزیت پارادایم زبان‌گردانی جایگزین بر دیگر پارادایم‌ها از جمله پارادایم زبان‌گردانی توالی-محور<sup>۹</sup> این است که شرایط برنامه‌ریزی زبانی را برای زبان بعدی فراهم می‌کند به‌گونه‌ای که

- 
1. PsychoPy
  2. Event-related design
  3. block
  4. Resting period
  5. alternating language switching paradigm
  6. run
  7. Hemodynamic baseline
  8. Task
  9. Sequence-based language switching paradigm

وضعیت پیش برنامه ریزی را در طول پردازش زبان طبیعی تداعی می کند (دکلرک و فیلیپ<sup>۱</sup>، ۲۰۱۵). لذا، بر مبنای توالی قابل پیش بینی، شرکت کننده می تواند برای زبان بعدی خود را آماده کند. در دنیای واقعی، سخنگویان دوزبانه قادرند تا هر یک از زبان هایشان را به طور مناسب استفاده کنند و به سرعت زبان گردانی بین دوزبان را انجام دهند. برای هر شرکت کننده، مدت زمان اجرای آزمون fMRI به انضمام مرحله آماده سازی تقریباً ۳۵ دقیقه به طول انجامید.

#### ۴-۲ پروتکل تصویربرداری

تصاویر fMRI توسط اسکنر MRI سه تسلا زیمنس مدل پریزما<sup>۲</sup> با کویل سر ۲۰ کاناله<sup>۳</sup> در آزمایشگاه ملی نقشه برداری مغز ثبت شد. تصویربرداری ساختاری رزو لوشن بالا و عملکردی حالت استراحت از مغز هر فرد در یک جلسه انجام شد. پروتکل ها و پارامترهای مورد استفاده در جدول ۲ ارائه شد. تصاویر ساختاری با استفاده از توالی سه بعدی آکو گرادیانت سریع مغناطش آماده شده<sup>۴</sup> و تصاویر عملکردی به صورت تصویربرداری آکو صفحه ای<sup>۵</sup> گرفته شد. زمان تصویربرداری عملکردی ۱۲۹۰ ثانیه به طول انجامید. تعداد کل والیوم ها<sup>۶</sup> ۴۳۰ عدد و هر والیوم نیز حاوی ۴۵ اسلایس بود.

جدول ۲- پروتکل های تصویربرداری ساختاری و عملکردی

T2-weighted EPI-BOLD (عملکردی)	T1-weighted MP-RAGE (ساختاری)	نام پروتکل
$3 \times 3 \times 3$	$1 \times 1 \times 1$	اندازه وکسل <sup>۷</sup> ( $\text{mm}^3$ )
۶۴	۲۵۶	اندازه ماتریس <sup>۸</sup> ( $\text{mm}^2$ )
۳۰	۳/۵۳	زمان آکو <sup>۹</sup> (ms) (TE)
۳۰۰۰	۱۸۰۰	زمان تکرار <sup>۱۰</sup> (ms) (TR)

1. Declerck & Philipp
2. 3.0 Tesla Siemens Prisma MRI Scanner
3. 20-channel head coil
4. three-dimension magnetization-prepared rapid gradient-echo (MP-RAGE) sequence
5. echo planner imaging (EPI)
6. volume
7. voxel size
8. matrix size
9. echo time
10. repetition time

T2-weighted EPI-BOLD (عملکردنی)	T1-weighted MP-RAGE (ساختاری)	نام پروتکل
۳	۱	ضخامت اسلایس <sup>۱</sup> (mm)
۱۹۲	۲۵۶	میدان دید <sup>۲</sup> (FOV) (mm <sup>2</sup> )
۹۰°	۷°	زاویه چرخش <sup>۳</sup> (deg) $\alpha$

## ۵-۲. پیش‌پردازش تصاویر

پیش‌پردازش تصاویر با استفاده از ابزارهای موجود در نرم‌افزار FSL مدل ۶/۰۰ مجموعه FMRIB<sup>۴</sup> به شرح زیر انجام شد: (۱) حذف جمجمه و استخراج قشر مغز، (۲) انطباق<sup>۵</sup> داده ساختاری T1-MPRAGE بر روی اطلس MNI و سپس انطباق داده‌های عملکردنی بر آن، (۳) تصحیح حرکت سر<sup>۶</sup>، (۴) تصحیح زمان‌بندی برش‌ها<sup>۷</sup> با استفاده از درون‌یابی فوریه<sup>۸</sup>، (۵) نرم کردن مکانی<sup>۹</sup> توسط فیلتر کرنل گوسی<sup>۱۰</sup> با FWHM برابر با ۶ میلی‌متر، (۶) نرمال کردن<sup>۱۱</sup> دامنه همه والیوم‌ها در هر نقطه زمانی بر پایه شدت میانگین، (۷) فیلتر کردن زمانی<sup>۱۲</sup> توسط فیلتر بالاکندر گوسی<sup>۱۳</sup> با سیگما<sup>۱۴</sup> ۵۰ ثانیه، (۸) حذف مؤلفه‌های نویز<sup>۱۵</sup> از تصاویر پیش‌پردازش شده با استفاده از روش تحلیل مؤلفه‌های مستقل<sup>۱۶</sup>. نهایتاً، از مدل خطی عمومی<sup>۱۷</sup>، جهت آنالیز سطح اول (اجرای فردی) و دوم

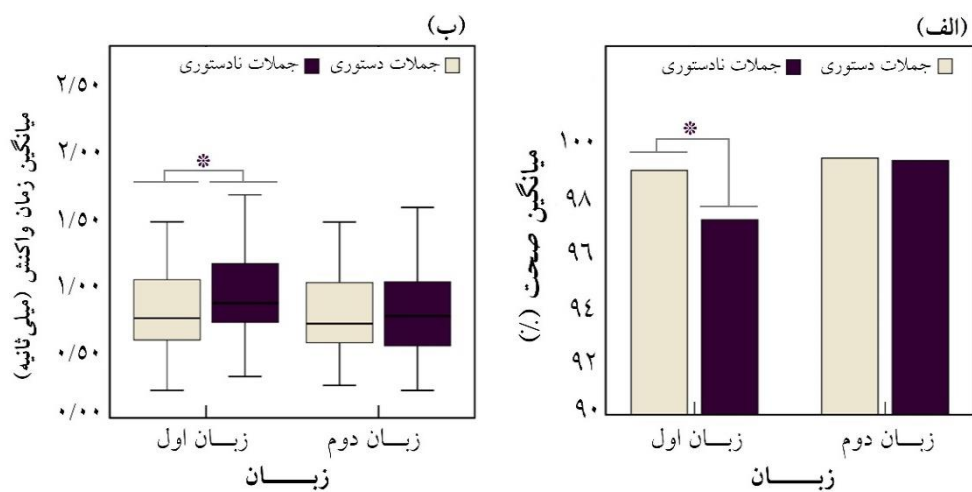
- 
1. slice thickness
  2. field of view
  3. flip angle
  4. [www.fmrib.ox.ac.uk/fsl](http://www.fmrib.ox.ac.uk/fsl)
  5. mapping
  6. Head Motion Correction
  7. Slice Timing Correction
  8. fourier interpolation
  9. Spatial Smoothing
  10. gaussian kernel
  11. Normalization
  12. Temporal Filtering
  13. gaussian high pass filter
  14. sigma
  15. noise
  16. independent component analysis (ICA)
  17. Generalized Linear Model (GLM)

(اجرای گروهی) استفاده شد. با استفاده از مدل تأثیر آمیخته<sup>۱</sup>، آنالیزهای بین گروهی<sup>۲</sup> انجام و وکسل هایی با z-stat بالای ۳/۱ و سطح معناداری کمتر از  $p < 0.05$  به صورت وکسل فعال تشخیص داده شد. فقط جملاتی که به آنها پاسخ درست داده شده بود، در چرخه آنالیز قرار گرفتند.

#### ۶-۲. روش تحلیل آماری

پیرو شناسایی فعالیت ناحیه تalamوس در رویکرد کل-مغز<sup>۳</sup> (میکده و همکاران، ۲۰۲۱ الف)، به منظور تعیین نقش ناحیه تalamوس در پردازش همزمان زبان های اول و دوم در افراد دوزبانه، تحلیلی با رویکرد ناحیه مورد نظر<sup>۴</sup> بر اساس مطالعات پیشین (میکده و ورنر، در دست انتشار/الف؛ میکده، زومر و بتولی، در دست انتشار/ب؛ میکده، زومر و بتولی، در دست انتشار/ج) اجرا شد تا الگوی فعالیت محرک ها در این ناحیه مغزی آشکار گردد (پلدراک،<sup>۵</sup> ۲۰۰۷). بدین ترتیب، در صد تغییر سیگنال<sup>۶</sup> به عنوان معیار «شدت»<sup>۷</sup> برای هر شرکت کننده در ناحیه تalamوس مطابق با اطلس هاروارد-آکسفورد<sup>۸</sup> در FSL محاسبه شد. شدت سیگنال به عنوان متغیر وابسته و دستوری بودگی، زبان، نیمکره و جنسیت به عنوان متغیرهای مستقل در نظر گرفته شدند. آنالیز آماری با استفاده از نرم افزار SPSS نسخه ۲۶ انجام شد. تغییرات شدت سیگنال از طریق آزمون استنباطی تحلیل واریانس<sup>۹</sup> با اندازه گیری های مکرر  $2 \times 2 \times 2 \times 2 \times 2 \times 2$  دستوری بودگی (دستوری، نادستوری)  $\times$  زبان (زبان اول = ترکی، زبان دوم = فارسی) نیمکره (چپ، راست)  $\times$  جنسیت (زن، مرد)) بررسی شد.

- 
1. Mixed effects
  2. between-subjects
  3. whole-brain
  4. region-of-interest analysis (ROI)
  5. Poldrack
  6. Percent Signal Change (PSC)
  7. Intensity
  8. Harvard-Oxford Atlas
  9. analysis of variance
  10. repeated measures



شکل ۱- آنالیز رفتاری زبان اول (ترکی) و دوم (فارسی). (الف) نمودارهای میله‌ای میانگین درصد پاسخ‌های درست به محرك‌های دستوری/نادرستوری در هر زبان. (ب) نمودارهای جعبه‌ای میانگین زمان واکنش به محرك‌های دستوری/نادرستوری در هر زبان به ميلی‌ثانیه. علامت ستاره نشانه معناداري است. سطح معناداري  $p < 0.05$ .

### ۳. نتایج

#### ۱-۳. نتایج رفتاری

شکل ۱ نتایج رفتاری را نشان می‌دهد. شرکت‌کننده‌ها، به طور میانگین، به بیش از ۹۹٪ محرك‌ها پاسخ درست دادند. درصد پاسخ درست و انحراف معیار برای زبان اول  $98/96 \pm 1/18$ ٪ و برای زبان دوم  $99/61 \pm 0/79$ ٪ بود. میانگین زمان واکنش (وانحراف معیار) به محرك‌های زبان اول و دوم به ترتیب  $0/88 \pm 0/37$  و  $0/78 \pm 0/36$  میلی‌ثانیه بود. در ارتباط با صحت پاسخ‌ها، نتایج تحلیل واریانس نشان می‌دهد که عامل اصلی دستوری بودگی میلی‌ثانیه بود. نتایج آزمون تعقیبی تی زوجی، اختلاف معنادار بین پاسخ‌های درست به محرك‌های دستوری و نادرستوری را فقط در زبان اول ( $t_{(35)} = 2/66$ ,  $p = 0/012$ ) و نه در زبان دوم ( $t_{(35)} = 1/67$ ,  $p = 0/869$ ) تأیید کرد. در ارتباط با زمان واکنش، نتایج نشان داد که عامل اصلی دستوری بودگی ( $F_{(1,35)} = 12/75$ ,  $p = 0/001$ ,  $\eta_p^2 = 0/273$ ) معنادار بود. معناداری اثر تعاملی دستوری بودگی  $\times$  زبان نیز ( $F_{(1,35)} = 18/55$ ,  $p = 0/000$ ,  $\eta_p^2 = 0/353$ ) دیده شد. نتایج آزمون تعقیبی تی زوجی نشان داد که اختلاف معنادار ( $F_{(1,35)} = 7/38$ ,  $p = 0/010$ ,  $\eta_p^2 = 0/179$ )

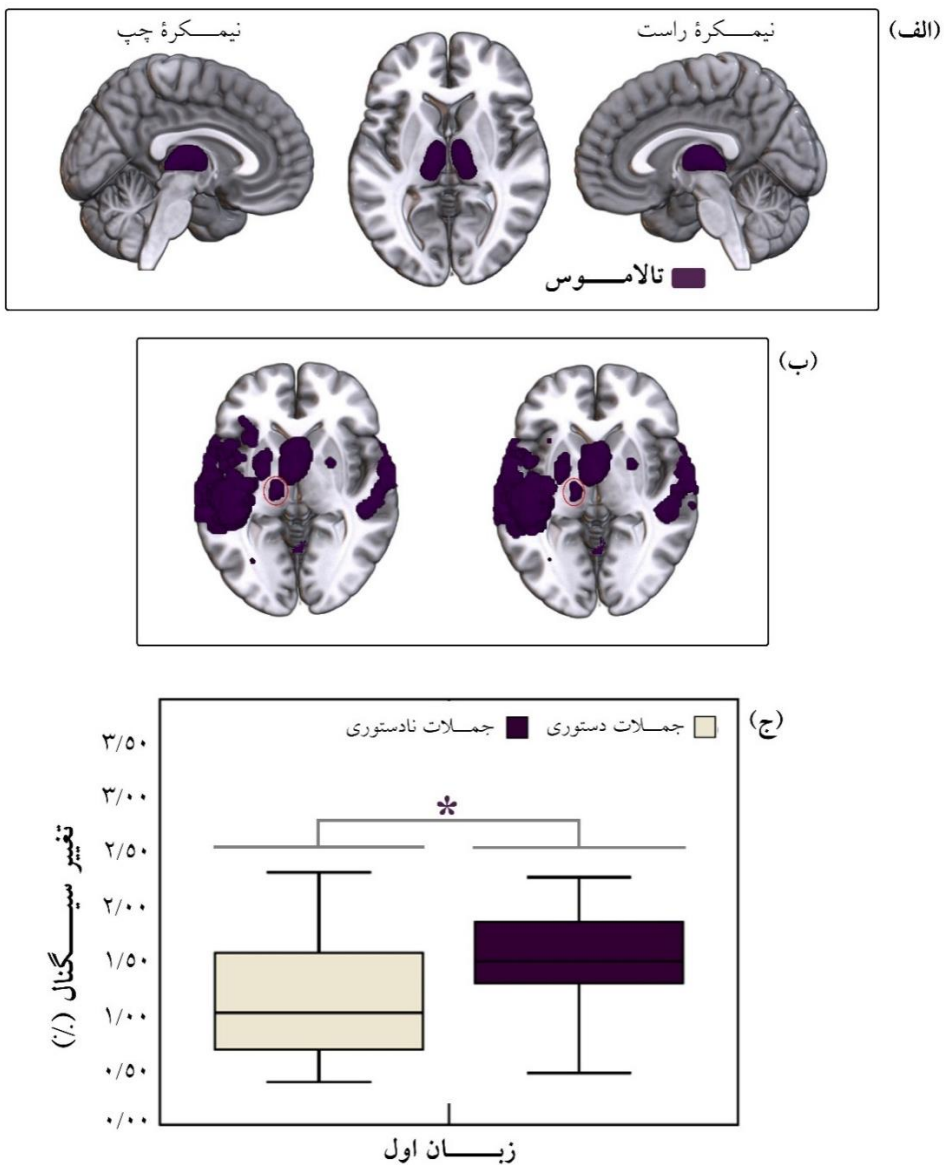
بین زبان‌ها محدود به زبان اول ( $t_{(35)} = 4/51$ ,  $p = 0/000$ ) و نه زبان دوم ( $t_{(35)} = 0/546$ ,  $p = 0/610$ ) است.

### ۳-۲. تایج ناحیه تalamos

موقعیت ناحیه تalamos در شکل ۲ الف نمایش داده شد. در ناحیه تalamos، تایج تحلیل واریانس (جدول ۳) نشان از معناداری عامل اصلی دستوری بودگی دارد. مشخصاً، شدت درصد تغییر سیگنال در جملات نادستوری ( $1/253$ ) به نسبت جملات دستوری ( $1/136$ ) بیشتر بود. همچنین، عامل اصلی زبان با شدت درصد تغییر سیگنال بیشتر در زبان اول ( $1/256$ ) به نسبت زبان دوم ( $1/132$ ) به سطح معناداری رسید.

اثر تعاملی دستوری بودگی  $\times$  زبان نیز معنادار بود. با در نظر گرفتن عامل دستوری بودگی، مشاهده شد که در زبان اول درصد تغییر سیگنال جملات نادستوری ( $1/363$ ) در مقایسه با جملات دستوری ( $1/150$ ) بیشتر بود ( $0/002$ ) و  $t_{(35)} = 3/338$ ,  $p =$ ، اما در زبان دوم اختلاف معناداری بین درصد تغییر سیگنال جملات نادستوری ( $1/143$ ) و دستوری ( $1/122$ ) مشاهده نشد ( $t_{(35)} = 0/694$ ,  $p = 0/396$ ). با در نظر گرفتن عامل زبان، مشاهده شد که در جملات نادستوری درصد تغییر سیگنال در زبان اول ( $1/363$ ) در مقایسه با زبان دوم ( $1/143$ ) بیشتر بود ( $0/002$ ) و  $t_{(35)} = 3/274$ ,  $p =$ ، اما در جملات دستوری هیچ تفاوتی بین درصد تغییر سیگنال زبان اول ( $1/150$ ) و دوم ( $1/122$ ) مشاهده نشد ( $t_{(35)} = 0/490$ ,  $p = 0/627$ ).

اثر تعاملی زبان  $\times$  نیمکره هم به سطح معناداری رسید. با در نظر گرفتن عامل زبان، مشاهده شد که در نیمکره چپ درصد تغییر سیگنال جملات زبان اول ( $1/341$ ) در مقایسه با زبان دوم ( $1/112$ ) بیشتر بود ( $0/000$ ) و  $t_{(35)} = 3/779$ ,  $p =$ ، اما در نیمکره راست اختلاف معناداری بین درصد تغییر سیگنال جملات زبان اول ( $1/171$ ) و دوم ( $1/153$ )  $t_{(35)} =$  مشاهده نشد ( $t_{(35)} = 0/735$ ,  $p = 0/341$ ). با در نظر گرفتن عامل نیمکره، مشاهده شد که در زبان اول درصد تغییر سیگنال در نیمکره چپ ( $1/341$ ) در مقایسه با نیمکره راست ( $1/171$ ) بیشتر بود ( $0/042$ ,  $t_{(35)} = 2/115$ ,  $p =$ )، اما در زبان دوم اختلاف معناداری بین درصد تغییر سیگنال در نیمکره چپ ( $1/112$ ) در مقایسه با نیمکره راست ( $1/153$ ) دیده نشد ( $t_{(35)} = 0/550$ ,  $p = 0/603$ ).



شکل ۲- (الف) موقعیت ناحیه تالاموس؛ (به ترتیب از راست) نمای ساجیتال<sup>۱</sup> راست، آکسیال<sup>۲</sup> و ساجیتال چپ. (ب) فعالیت مغز-کل (بنفش) در جملات دستوری (تصویر سمت راست) و نادستوری (تصویر سمت چپ) زبان اول برای ناحیه تالاموس چپ نسبت به خط مبدأ. دایره قرمزرنگ مکان فعالیت هر محرك را نشان می‌دهد. (ج) نمودارهای جعبه‌ای درصد تغییر سیگنال برای اثر دستوری بودگی در تالاموس چپ برای زبان اول؛ علامت ستاره نشانه معناداری است.

1. Sagittal
2. Axial

## جدول ۳- نتایج آزمون تحلیل واریانس ۴- راهه در ناحیه تalamos

منبع تغییرات	<i>F</i> آماره	درجه آزادی	معناداری	مجدور اتا
دستوری بودگی	۶/۱۲۷	۱	۰/۰۱۸	۰/۱۵۳
دستوری بودگی × جنسیت	۰/۰۵۹	۱	۰/۴۶۰	۰/۰۱۶
زبان	۶/۴۰۵	۱	۰/۰۱۶	۰/۱۶۰
زبان × جنسیت	۰/۰۵۲	۱	۰/۸۲۰	۰/۰۰۲
نیمکره	۰/۶۳۶	۱	۰/۴۳۱	۰/۰۱۸
نیمکره × جنسیت	۰/۵۶۹	۱	۰/۴۵۶	۰/۰۱۶
دستوری بودگی × زبان	۴/۹۹۷	۱	۰/۰۳۲	۰/۱۲۸
دستوری بودگی × زبان × جنسیت	۲/۳۷۶	۱	۰/۱۲۲	۰/۰۶۵
دستوری بودگی × نیمکره	۲/۱۹۴	۱	۰/۱۴۸	۰/۰۶۱
دستوری بودگی × نیمکره × جنسیت	۱/۰۷۳	۱	۰/۳۰۸	۰/۰۳۱
زبان × نیمکره	۱۳/۲۰۸	۱	۰/۰۰۱	۰/۲۸۰
زبان × نیمکره × جنسیت	۱/۴۵۱	۱	۰/۲۳۷	۰/۰۴۱
دستوری بودگی × زبان × نیمکره	۱۲/۴۷۷	۱	۰/۰۰۱	۰/۲۶۸
دستوری بودگی × زبان × نیمکره × جنسیت	۰/۲۲۶	۱	۰/۶۳۷	۰/۰۰۷

افزون بر این، تعامل سه عامل دستوری بودگی × زبان × نیمکره معنادار بود. با درنظرگرفتن عامل دستوری بودگی، در نیمکره چپ درصد تغییر سیگنال جملات نادستوری زبان اول ( $1/510$ ) در مقایسه با جملات دستوری زبان اول ( $1/172$ ) بیشتر بود ( $p = 0/001$ )، اما هیچ اختلاف معناداری بین درصد تغییر سیگنال جملات نادستوری زبان دوم ( $1/103$ ) در مقایسه با جملات دستوری زبان دوم ( $1/121$ ) بیشتر بود ( $p = 0/297$ ). در نیمکره راست نه تنها درصد تغییر سیگنال جملات نادستوری زبان اول ( $1/216$ ) در مقایسه با جملات دستوری زبان اول ( $1/127$ ) متفاوت نبود ( $p = 0/129$ ، بلکه، تفاوت معناداری بین درصد تغییر سیگنال جملات نادستوری زبان دوم ( $1/183$ ) در مقایسه با جملات دستوری زبان دوم ( $1/123$ ) مشاهده نشد ( $p = 0/288$ ). با درنظرگرفتن عامل زبان، مشاهده شد که نه تنها در جملات دستوری نیمکره چپ اختلافی در درصد تغییر سیگنال زبان اول ( $1/172$ ) در مقایسه با زبان دوم ( $1/121$ ) مشاهده نشد ( $p = 0/368$ )،

$t_{(25)} = 0/912$ ، بلکه، در جملات دستوری نیمکره راست هم هیچ تفاوتی در درصد تغییر سیگنال زبان اول ( $1/127$ ) در مقایسه با زبان دوم ( $1/123$ ) دیده نشد ( $p = 0/061$ ). از سوی دیگر، در جملات نادستوری نیمکره چپ درصد تغییر سیگنال در زبان اول ( $1/510$ ) در مقایسه با زبان دوم ( $1/103$ ) بیشتر بود ( $p < 0/001$ ) در مقایسه با زبان دوم ( $1/183$ ) دیده نشد ( $p = 0/453$ ). با در نظر گرفتن عامل نیمکره مشاهده شد که نه تنها در جملات دستوری زبان اول هیچ اختلافی بین درصد تغییر سیگنال در نیمکره چپ ( $1/172$ ) در مقایسه با نیمکره راست ( $1/127$ ) دیده نشد ( $p = 0/556$ )، بلکه در زبان دوم هم اختلافی در درصد تغییر سیگنال نیمکره چپ ( $1/121$ ) در مقایسه با نیمکره راست ( $1/123$ ) یافت نشد ( $p = 0/978$ )، از سوی دیگر، در جملات نادستوری زبان اول درصد تغییر سیگنال در نیمکره چپ ( $1/510$ ) در مقایسه با نیمکره راست ( $1/216$ ) بیشتر بود ( $p = 0/007$ )؛ اما در جملات نادستوری زبان دوم اختلافی در درصد تغییر سیگنال نیمکره چپ ( $1/163$ ) در مقایسه با نیمکره راست ( $1/183$ ) دیده نشد ( $p = 0/225$ )، از سوی دیگر، در جملات نادستوری زبان اول در شکل ۲ ج به تصویر کشیده شد. همان‌گونه که جدول ۳ نشان می‌دهد، تعامل جنسیت با سایر عوامل معنادار نبود.<sup>1</sup>

#### ۴. بحث و نتیجه‌گیری

در پژوهش حاضر، عملکرد ناحیه تالاموس دوچانبه در پردازش همزمان زبان اول و دوم در دوزبانه‌های متوازن ترکی (زبان اول)-فارسی (زبان دوم با سن یادگیری ۷ سالگی در بدرو ورود به مدرسه) بررسی شد. محرک‌های دستوری/نادستوری به صورت تصادفی و محرک‌های زبان اول/دوم به صورت متواالی توزیع شدند که مستلزم مشارکت/عدم مشارکت متناوب بین زبان‌هاست. به دنبال شناسایی حساسیت ناحیه تالاموس چپ به محرک‌های دستوری و نادستوری زبان اول در دوزبانه‌های ترکی-فارسی در سطح کل-مغز (میکده و همکاران، ۲۰۲۱ الف)، یک آنالیز مبتنی بر ROI در پژوهش حاضر اجرا و اثر دستوری بودگی در تالاموس چپ برای زبان اول تأیید شد. نتایج حاصل از آنالیز مبتنی بر ROI حاکی از این است که در پژوهش حاضر دوزبانه‌ها در حین زبان‌گردانی زبان

۱. مسئله جنسیت جزء موضوعات کلیدی مقاله حاضر نیست؛ اما با توجه به ناترازی تعداد شرکت‌کنندگان مرد و زن، نویسنده‌گان مقاله علاقمند بودند با داده‌های آماری به خواننده کنجکاو القا کنند که نتایج فعلی متأثر از پارامتر جنسیت نبوده است.

ترکی را به عنوان زبان پایه و زبان فارسی را به عنوان زبان مهمان<sup>۱</sup> انتخاب کرده‌اند که در راستای فرضیه آستانه فعالیت (پر迪س، ۱۹۹۳ و ۲۰۰۱) است. بر این اساس، هر دو زبان اول و دوم فعال هستند، اما زبان پایه، فعالیت قوی‌تری دارد (گرین، ۱۹۹۸) که منجر به اثرات تغییر نامتقارن<sup>۲</sup> می‌شود (ژیو و همکاران، ۲۰۲۰)؛ زیرا وقتی زبان‌گردانی به سمت محرك‌های زبان اول انجام می‌شود، مهار زبان اول که در طول پردازش جملات زبان دوم اتفاق افتاده بود باید غلبه شود که خود منجر به فعالیت بیشتر نواحی درگیر فرایند مهار می‌شود.

نتایج فوق در راستای یافته‌های رفتاری شرکت‌کنندگان است که زمان واکنش کمتری را برای زبان دوم نسبت به زبان اول نشان می‌دهد. در مقابل، تغییر در جهت زبان غالب (زبان اول)، مستلزم زمان بیشتری است تا به مهار قبلى که به این زبان اعمال شده است، غلبه گردد. به عبارتی دیگر، به این دلیل که زبان دوم زبان ضعیف‌تری محسوب می‌شود کنترل شناختی مضاعفی لازم است تا زبان اول را پس از تولید زبان دوم بازفعال کند (ژیو و همکاران، ۲۰۲۰)؛ بنابراین، فعالیت تalamos برای زبان اول بر نقش حیاتی این ناحیه مغزی در کنترل رفتاری و شناختی صحه می‌گذارد که در راستای مطالعات پیشین است (هوسودا<sup>۳</sup> و همکاران، ۲۰۱۳؛ برکن، گرادو و کلاین<sup>۴</sup>؛ ۲۰۱۷؛ پلیاستیکاس<sup>۵</sup> و همکاران، ۲۰۱۷؛ دلوکا<sup>۶</sup> و همکاران، ۲۰۱۹؛ گلو<sup>۷</sup> و همکاران، ۲۰۲۱). با توجه به اینکه در مطالعه پیشین نویسندهای حاضر (میکده، زومر و بتولی، در دست انتشار/ج)، حساسیت هسته کودیت نیز به زبان اول مشاهده شد، به نظر می‌رسد این دو ناحیه مغزی (تalamos و هسته کودیت) نقش ویژه‌ای در فرایندهای زبان‌گردانی، کنترل شناختی و انتخاب زبان ایفا می‌کنند. همان‌طور که در بخش مقدمه مطرح شد، اختلافات روش‌شناختی قابل توجهی که مطالعه حاضر را از اثر وارتبرگ و همکارانش (۲۰۰۳) - به عنوان تنها اثر موجود در زمینه پردازش دستوری در افراد دوزبانه - متمایز می‌کند، امکان مقایسه بین این دو اثر را بسیار کم نگ می‌کند و گویای این است که پردازش زبان در یک مغز واحد دوزبانه مستلزم انجام مطالعات عمیق‌تری است.

لازم به ذکر است که فعالیت تalamos در مطالعه حاضر محدود به نیمکره چپ مغز بود؛ بنابراین با توجه به فعالیت غالب نیمکره چپ در پردازش نحوی دوزبانه‌های ترکی-فارسی (میکده و همکاران، ۲۰۲۱ الف)، می‌توان

- 
1. Guest langiage
  2. Asymmetrical switch effects
  3. Hosoda
  4. Berken, Gracco, Klein
  5. Pliatsikas
  6. DeLuca
  7. Gallo

استباط کرد که این تالاموس چپ است که نقش انتقال‌دهنده اطلاعات از مسیر تالاموکورتیکال به نواحی قشری را انجام می‌دهد.

### تشکر و قدردانی

این پژوهش برگرفته از رساله دکتری نویسنده اول این مقاله است که با حمایت مالی ستاد توسعه علوم و فناوری‌های شناختی به شماره ۷۴۰۱ انجام شده است. ضمناً، این پژوهه از حمایت مالی وزارت علوم، تحقیقات و فناوری ایران نیز جهت تکمیل اهداف پژوهه در دانشگاه هومبولت برلین ۱ (آلمان) تحت راهنمایی نویسنده دوم این مقاله برخوردار بوده است؛ از همکاری آن سازمان متابع قدردانی می‌گردد.

### کتابنامه

- پورمحمدی، مهدی. (۱۳۹۳). روان‌شناسی زبان. تهران: سمت.
- خدادادی، مجتبی؛ اسدزاده، حسن؛ کلاتر قریشی، منیر؛ امانی، حسین. (۱۳۹۳). نرم‌افزار حافظه کاری دانیمن و کارپتر. تهران: موسسه تحقیقات علوم رفتاری- شناختی سینا.
- میکده، سیمین. (۱۴۰۰). بررسی اثرات بسندگی زبان و سن یادگیری زبان دوم بر دستگاه عصبی برای پردازش صرفی- نحوی با استفاده از fMRI و ERPs. رساله دکتری، دانشگاه تربیت مدرس.
- میکده، سیمین و زومر، ورنر. (در دست انتشار/الف). عدم تفاوت‌های جنسیتی در پردازش مشخصه‌های فای در افراد دوزبانه متوازن: مطالعه‌ای بر پایه تصویربرداری تشخیصی عملکردی (fMRI). پژوهش‌های زبان‌شناسی تطبیقی.
- میکده، سیمین؛ زومر، ورنر؛ بتولی، سیدامیرحسین. (در دست انتشار/ب). مخچه و مطابقه دستوری در دوزبانه‌ها: شواهدی از قضاوت دستوری بودگی با استفاده از fMRI. علم زبان.
- میکده، سیمین؛ زومر، ورنر؛ بتولی، سیدامیرحسین. (در دست انتشار/ج). فعالیت نورونی هسته کودیت چپ در حین زبان‌گردانی: شواهد fMRI از دوزبانه‌های ترکی-فارسی. پژوهش‌های نوین روانشناسی.
- Antón, E., Carreiras, M., & Duñabeitia, J. A. (2019). The impact of bilingualism on executive functions and working memory in young adults. *PLoS one*, 14(2), 1-30. <https://doi.org/10.1371/journal.pone.0206770>
- Berken, J. A., Gracco, V. L., & Klein, D. (2017). Early bilingualism, language attainment, and brain development. *Neuropsychologia*, 98, 220–227. <https://doi.org/10.1016/j.neuropsychologia.2016.08.031>
- Bogousslavsky, J., Regli, F., & Uske, A. (1988). Thalamic infarcts: clinical syndromes, etiology, and prognosis. *Neurology*, 38(6), 837–848. <https://doi.org/10.1212/wnl.38.6.837>
- Burgaleta, M., Sanjuán, A., Ventura-Campos, N., Sebastian-Galles, N., & Ávila, C. (2016). Bilingualism at the core of the brain. Structural differences between bilinguals and monolinguals revealed by subcortical shape analysis. *NeuroImage*, 125, 437–445. <https://doi.org/10.1016/j.neuroimage.2015.09.073>
- Declerck, M., & Philipp, A. M. (2015). A review of control processes and their locus in language switching. *Psychonomic bulletin & review*, 22(6), 1630–1645. <https://doi.org/10.3758/s13423-015-0836-1>
- DeLuca, V., Rothman, J., Bialystok, E., & Pliatsikas, C. (2019). Redefining bilingualism as a spectrum of experiences that differentially affects brain structure and function. *Proceedings of the National Academy of Sciences of the United States of America*, 116(15), 7565–7574. <https://doi.org/10.1073/pnas.1811513116>
- Dunn, A. L., & Fox Tree, J. E. (2009). A quick, gradient Bilingual Dominance Scale. *Bilingualism: Language and Cognition*, 12(3), 273-289. <https://doi.org/10.1017/S1366728909990113>
- Fedeli, D., Del Maschio, N., Sulpizio, S., Rothman, J., & Abutalebi, J. (2021). The bilingual

- structural connectome: Dual-language experiential factors modulate distinct cerebral networks. *Brain and language*, 220, 1-13. <https://doi.org/10.1016/j.bandl.2021.104978>
- Fimm, B., Zahn, R., Mull, M., Kemeny, S., Buchwald, F., Block, F., & Schwarz, M. (2001). Asymmetries of visual attention after circumscribed subcortical vascular lesions. *Journal of neurology, neurosurgery, and psychiatry*, 71(5), 652–657. <https://doi.org/10.1136/jnnp.71.5.652>
- Friston K. (2012). Ten ironic rules for non-statistical reviewers. *NeuroImage*, 61(4), 1300-1310. <https://doi.org/10.1016/j.neuroimage.2012.04.018>
- Gallo, F., Novitskiy, N., Myachykov, A. & Shtyrov, Y. (2021). Individual differences in bilingual experience modulate executive control network and performance: Behavioral and structural neuroimaging evidence. *Bilingualism: Language and Cognition*, 24(2), 293-304. DOI: <https://doi.org/10.1017/S1366728920000486>
- Hartsuiker, R. J., Pickering, M. J., & Veltkamp, E. (2004). Is syntax separate or shared between languages? Cross-linguistic syntactic priming in Spanish-English bilinguals. *Psychological science*, 15(6), 409-414. <https://doi.org/10.1111/j.0956-7976.2004.00693.x>
- Hollingshead, A. (1975). *Four Factor Index of Social Status*. Unpublished Manuscript. New Haven, CT: Yale University Department of Sociology.
- Hosoda, C., Tanaka, K., Narai, T., Honda, M., & Hanakawa, T. (2013). Dynamic neural network reorganization associated with second language vocabulary acquisition: a multimodal imaging study. *The Journal of neuroscience*, 33(34), 13663-13672. <https://doi.org/10.1523/JNEUROSCI.0410-13.2013>
- Korenar, M., Treffers-Daller, J., & Pliatsikas, C. (2023). Dynamic effects of bilingualism on brain structure map onto general principles of experience-based neuroplasticity. *Scientific reports*, 13(1), 3428. <https://doi.org/10.1038/s41598-023-30326-3>
- Lerman, A., & Obler, L. K. (2017). Aging in bilinguals: Normal and abnormal. In A. Ardila, A. B. Cieślicka, R. R. Heredia & M. Rosselli (Eds.), *Handbook of Psychology of Bilingualism: The Cognitive and Emotional World of Bilinguals*. (Vol. 5) (pp. 189-210). Switzerland. Springer International Publishing, [https://doi.org/10.1007/978-3-319-64099-0\\_8](https://doi.org/10.1007/978-3-319-64099-0_8)
- Liebermann, D., Ploner, C. J., Kraft, A., Kopp, U. A., & Ostendorf, F. (2013). A dysexecutive syndrome of the medial thalamus. *Cortex*, 49(1), 40-49. <https://doi.org/10.1016/j.cortex.2011.11.005>
- Mechelli, A., Crinion, J. T., Noppeney, U., O'Doherty, J., Ashburner, J., Frackowiak, R. S., & Price, C. J. (2004). Neurolinguistics: structural plasticity in the bilingual brain. *Nature*, 431, 757. <https://doi.org/10.1038/431757a>
- Meykadeh, S. (2021). An investigation of the effects of language proficiency and age of acquisition on neural organization for morphosyntactic processing using ERPs and fMRI [Doctoral dissertation, Tarbiat Modares University [In Persian].
- Meykadeh, A., Golfam, A., Batouli, SAH. & Sommer, W. (2021a). Overlapping but language-specific mechanisms in morphosyntactic processing in highly competent L2 acquired at school entry: fMRI evidence from an alternating language switching task. *Frontiers in Human Neuroscience*, 26(15), 1-13. <https://doi.org/10.3389/fnhum.2021.728549>
- Meykadeh, S., Golfam, A., Batouli, S. A. H., & Sommer, W. (2023a). The neural basis of Number

- and Person phi-features processing: An fMRI study in highly proficient bilinguals. *Bilingualism: Language and Cognition*, 1–16. <https://doi.org/10.1017/S1366728923000615>
- Meykadeh, A., Golfam, A., Nasrabadi, AM., Ameri, H. & Sommer, W. (2021b). First Event-Related Potentials evidence of auditory morphosyntactic processing in a subject-object-verb nominative-accusative language (Farsi). *Frontiers in psychology*, 16(12), 1-9. <https://doi.org/10.3389/fpsyg.2021.698165>
- Meykadeh, S., Khadem, A., Sulpizio, S. & Sommer, W. (2023b). Functional connectivity during morphosyntactic processing: An fMRI study in balanced Turkish-Persian bilinguals. *Journal of Neurolinguistics*. 68 (101162), 1-12. <https://doi.org/10.1016/j.jneuroling.2023.101162>
- Paradis, M. (1993). Linguistic, psycholinguistic and neurolinguistics aspects of “interference” in bilingual speakers: the activation threshold hypothesis. *Int. J. Psycholinguist*. 9, 133–145.
- Paradis, M. (2001). An integrated neurolinguistic theory of bilingualism (1976–2000). Paper Presented at the LACUS Forum 27 Houston, TX.
- Pliatsikas, C., DeLuca, V., Moschopoulou, E., & Saddy, J. D. (2017). Immersive bilingualism reshapes the core of the brain. *Brain structure & function*, 222(4), 1785–1795. <https://doi.org/10.1007/s00429-016-1307-9>
- Poldrack, R. A. (2007). Region of interest analysis for fMRI. *Social Cognitive and Affective Neuroscience*, 2(1), 67-70. <https://doi.org/10.1093/scan/nsm006>
- Purves, D., Augustine, G. J., Fitzpatrick, D., Hall, W. C., LaMantia, A., Mooney, R. D., Platt, M. L., & White, L. E. (2018) *Neuroscience*. 6th Edition. New York, NY: Sinauer Associates.
- Román, P., & Gómez-Gómez, I. (2022). Changes in Native Sentence Processing Related to Bilingualism: A Systematic Review and Meta-Analysis. *Frontiers in psychology*, 13, 1-15. <https://doi.org/10.3389/fpsyg.2022.757023>
- Sanides, F. (1970). Functional architecture of motor and sensory cortices in primates in the light of a new concept of neocortex evolution, in C. Noback, & W. Montagna (Eds.), *Advances in Primatology: The Primate Brain*. (pp. 137-208). New York, Appleton-Century-Crofts.
- Van der Werf, Y. D., Witter, M. P., Uylings, H. B., & Jolles, J. (2000). Neuropsychology of infarctions in the thalamus: a review. *Neuropsychologia*, 38(5), 613–627. [https://doi.org/10.1016/s0028-3932\(99\)00104-9](https://doi.org/10.1016/s0028-3932(99)00104-9)
- Zhu, J. D., Seymour, R. A., Szakay, A., & Sowman, P. F. (2020). Neuro-dynamics of executive control in bilingual language switching: An MEG study. *Cognition*, 199, 104247. <https://doi.org/10.1016/j.cognition.2020.104247>